



Министерство науки и высшего образования Российской Федерации
федеральное государственное бюджетное образовательное учреждение
высшего профессионального образования
«Московский государственный технический университет имени
Н.Э. Баумана (национальный исследовательский университет)»
(МГТУ им. Н.Э. Баумана)

ФАКУЛЬТЕТ «Робототехника и комплексная автоматизация»
КАФЕДРА «Системы автоматизированного проектирования (РК-6)»

ОТЧЕТ О ВЫПОЛНЕНИИ ЛАБОРАТОРНОЙ РАБОТЫ по дисциплине «Модели и методы анализа проектных решений»

Студент:	Кулагин Арсений Олегович
Группа:	РК6-736
Тип задания:	Лабораторная работа
Название:	Метод конечных элементов
Вариант:	54

Студент

подпись, дата

Кулагин А.О.

Фамилия, И.О.

Преподаватель

подпись, дата

Трудоношин В. А.

Фамилия, И.О.

Оценка:

Москва, 2022

Содержание

Метод конечных элементов	3
1 Цель выполнения лабораторной работы	3
2 Задание	3
3 Аналитическое решение	4
4 Получение локальных матрицы жесткости и вектора нагрузок	4
Линейная функция-формы КЭ	5
Кубическая функция-формы КЭ	5
5 Получение глобальных матрицы жесткости и вектора нагрузок	7
Ансамблирование	7
Учет граничных условий	8
6 Анализ результатов	8
Линейная функция-формы	8
Кубическая функция-формы	11
Нахождение количества линейных КЭ, обеспечивающих ту же точность, что и 20 кубических	14
7 Код	14
8 Вывод	21

Метод конечных элементов

1 Цель выполнения лабораторной работы

Цель выполнения лабораторной работы – решение дифференциального уравнения методом конечных элементов (МКЭ), используя линейную и кубическую функции формы, и анализ точности относительно аналитического способа решения

2 Задание

Решить с помощью МКЭ уравнение 1

$$51 \frac{d^2 u}{dx^2} - 8u + 20 = 0, \quad (1)$$

при следующих граничных условиях (г. у.):

$$u(x = 5) = 0, \quad (2)$$

$$u'(x = 50) = 1. \quad (3)$$

Количество конечных элементов

- для первого расчета – 20,
- для второго – 40.

Также необходимо:

1. Сравнить результаты с аналитическим решением. Оценить максимальную погрешность.
2. Определить количество линейных КЭ, обеспечивающих такую же точность как и кубические.

3 Аналитическое решение

На рисунке 1 представлено аналитическое решение поставленной задачи.

51y''-8y+20=0, y'(50)=1, y(5)=0

NATURAL LANGUAGE MATH INPUT

EXTENDED KEYBOARD EXAMPLES UPLOAD RANDOM

Input

{51 y''(x) - 8 y(x) + 20 = 0, y'(50) = 1, y(5) = 0}

Autonomous equation Enlarge Data Customize Plain Text

51 y''(x) = -20 + 8 y(x)

Autonomous equation »

ODE classification

second-order linear ordinary differential equation

Alternate forms

{8 y(x) = 51 y''(x) + 20, y'(50) = 1, y(5) = 0}

{y''(x) = \frac{8 y(x)}{51} - \frac{20}{51}, y'(50) = 1, y(5) = 0}

Differential equation solution Approximate form Step-by-step solution

$$y(x) = \frac{1}{4 \left(1 + e^{60\sqrt{6/17}}\right)} e^{-2\sqrt{2/51} (x+5)} \left(e^{2\sqrt{2/51} x} - e^{10\sqrt{2/51}} \right) \left(-10 e^{2\sqrt{2/51} x} + \sqrt{102} e^{2\sqrt{2/51} (x+45)} + \sqrt{102} e^{100\sqrt{2/51}} + 10 e^{190\sqrt{2/51}} \right)$$

Download Page POWERED BY THE WOLFRAM LANGUAGE

Рис. 1. Аналитическое решение

Таким образом, получаем:

$$u(x) = \frac{e^{-2\sqrt{2/51}(x+5)} \left(e^{2\sqrt{2/51}x} - e^{10\sqrt{2/51}} \right) \left(-10e^{2\sqrt{2/51}x} + \sqrt{102}e^{2\sqrt{2/51}(x+45)} + \sqrt{102}e^{100\sqrt{2/51}} + 10e^{190\sqrt{2/51}} \right)}{4 \left(1 + e^{60\sqrt{6/17}} \right)}.$$

4 Получение локальных матрицы жесткости и вектора нагрузок

Составим локальные матрицу жесткости и вектор нагрузок для уравнения 1.

Линейная функция-формы КЭ

$$\mathbf{u} = \left[\left(1 - \frac{x}{L} \right); \frac{x}{L} \right] \begin{bmatrix} u_i \\ u_j \end{bmatrix} = \mathbf{N}_e \mathbf{U},$$

где \mathbf{N}_e – вектор функции формы конечного элемента (в данном случае линейной), его составляющие элементы – глобальные базисные функции, отличные от нуля в пределах этого элемента, L – длина КЭ.

В соответствии с методом Галеркина для уравнения 1:

$$\int_0^L \mathbf{W}_e \left(51 \frac{d^2 \mathbf{u}}{dx^2} - 8u + 20 \right) dx = 0, \quad (4)$$

где $\mathbf{W}_e = \mathbf{N}_e^T$.

$$\int_0^L \mathbf{W}_e \left(51 \frac{d^2 \mathbf{u}}{dx^2} - 8u + 20 \right) dx = 51 \int_0^L \mathbf{W}_e \frac{d^2 \mathbf{u}}{dx^2} dx - 8 \int_0^L \mathbf{W}_e u dx + 20 \int_0^L \mathbf{W}_e u = 0$$

Распишем каждое слагаемое отдельно:

$$\begin{aligned} 51 \int_0^L \mathbf{W}_e \frac{d^2 \mathbf{u}}{dx^2} dx &= 51 \int_0^L \left[\left(1 - \frac{x}{L} \right) \frac{x}{L} \right] \frac{d^2 \mathbf{u}}{dx^2} dx = 51 \left[\left(1 - \frac{x}{L} \right) \frac{d\mathbf{u}}{dx} \right]_0^L - \\ &- 51 \int_0^L \frac{d}{dx} \left[\left(1 - \frac{x}{L} \right) \frac{x}{L} \right] \frac{d}{dx} \left[\left(1 - \frac{x}{L} \right); \frac{x}{L} \right] \begin{bmatrix} u_i \\ u_j \end{bmatrix} = \begin{bmatrix} -51 \frac{d\mathbf{u}}{dx} |_i \\ 51 \frac{d\mathbf{u}}{dx} |_j \end{bmatrix} - 51 \begin{bmatrix} \frac{1}{L}, & -\frac{1}{L} \\ -\frac{1}{L}, & \frac{1}{L} \end{bmatrix} \begin{bmatrix} u_i \\ u_j \end{bmatrix} \\ -8 \int_0^L \mathbf{W}_e u dx &= -8 \int_0^L \left[\left(1 - \frac{x}{L} \right) \frac{x}{L} \right] \mathbf{u} \begin{bmatrix} u_i \\ u_j \end{bmatrix} dx = -8 \begin{bmatrix} \frac{L}{3}, & \frac{L}{6} \\ \frac{L}{6}, & \frac{L}{3} \end{bmatrix} \begin{bmatrix} u_i \\ u_j \end{bmatrix} \\ 20 \int_0^L \mathbf{W}_e dx &= 20 \left[\frac{L}{2} \right] \end{aligned}$$

Таким образом, для уравнения 4, при использовании линейной функции-формы, получаем (матмодель линейного КЭ):

$$\begin{bmatrix} 51 \frac{1}{L} - 8 \frac{L}{3}, & -51 \frac{1}{L} - 8 \frac{L}{6} \\ -51 \frac{1}{L} - 8 \frac{L}{6}, & 51 \frac{1}{L} - 8 \frac{L}{3} \end{bmatrix} \begin{bmatrix} u_i \\ u_j \end{bmatrix} = \begin{bmatrix} -51 \frac{du}{dx} |_i + 20 \frac{L}{2} \\ 51 \frac{du}{dx} |_j + 20 \frac{L}{2} \end{bmatrix}$$

Кубическая функция-формы КЭ

$$\mathbf{u} = \left[-\frac{9x^3}{2L^3} + \frac{18x^2}{2L^2} - \frac{11x}{2L} + 1; \frac{27x^3}{2L^3} - \frac{45x^2}{2L^2} + \frac{9x}{L}; -\frac{27x^3}{2L^3} + \frac{36x^2}{2L^2} - \frac{9x}{2L}; \frac{9x^3}{2L^3} - \frac{9x^2}{2L^2} - \frac{x}{L}; \right] \begin{bmatrix} u_i \\ u_j \\ u_k \\ u_l \end{bmatrix} = \mathbf{N}_e \mathbf{U},$$

Как и для линейной функции-формы применим метод Галеркина (см. уравнение 4) и рассмотрим каждое слагаемое отдельно.

$$\begin{aligned}
51 \int_0^L \mathbf{W}_e \frac{d^2 \mathbf{u}}{dx^2} dx &= 51 \int_0^L \begin{bmatrix} -\frac{9x^3}{2L^3} & + & \frac{18x^2}{2L^2} & - & \frac{11x}{2L} & + & 1 \\ \frac{27x^3}{2L^3} & - & \frac{45x^2}{2L^2} & + & \frac{9x}{L} \\ -\frac{27x^3}{2L^3} & + & \frac{36x^2}{2L^2} & - & \frac{9x}{2L} \\ \frac{9x^3}{2L^3} & - & \frac{9x^2}{2L^2} & - & \frac{x}{L} \end{bmatrix} \frac{d^2 \mathbf{u}}{dx^2} dx = \\
&= 51 \begin{bmatrix} -\frac{9x^3}{2L^3} & + & \frac{18x^2}{2L^2} & - & \frac{11x}{2L} & + & 1 \\ \frac{27x^3}{2L^3} & - & \frac{45x^2}{2L^2} & + & \frac{9x}{L} \\ -\frac{27x^3}{2L^3} & + & \frac{36x^2}{2L^2} & - & \frac{9x}{2L} \\ \frac{9x^3}{2L^3} & - & \frac{9x^2}{2L^2} & - & \frac{x}{L} \end{bmatrix} \frac{d\mathbf{u}}{dx} \Big|_0^L - 51 \int_0^L \frac{d}{dx} \begin{bmatrix} -\frac{9x^3}{2L^3} & + & \frac{18x^2}{2L^2} & - & \frac{11x}{2L} & + & 1 \\ \frac{27x^3}{2L^3} & - & \frac{45x^2}{2L^2} & + & \frac{9x}{L} \\ -\frac{27x^3}{2L^3} & + & \frac{36x^2}{2L^2} & - & \frac{9x}{2L} \\ \frac{9x^3}{2L^3} & - & \frac{9x^2}{2L^2} & - & \frac{x}{L} \end{bmatrix} \frac{d}{dx} \mathbf{u} = \\
&= \begin{bmatrix} -51 \frac{d\mathbf{u}}{dx} \Big|_i \\ 0 \\ 0 \\ 51 \frac{d\mathbf{u}}{dx} \Big|_l \end{bmatrix} - 51 \begin{bmatrix} \frac{37}{10L} & -\frac{189}{40} & \frac{27}{20L} & -\frac{13}{40L} \\ -\frac{189}{40} & \frac{54}{27} & -\frac{40L}{297} & \frac{20L}{27} \\ \frac{20L}{27} & -\frac{40L}{297} & \frac{54}{54} & -\frac{189}{20L} \\ -\frac{13}{40L} & \frac{27}{20L} & -\frac{54}{40} & \frac{37}{10L} \end{bmatrix} \begin{bmatrix} u_i \\ u_j \\ u_k \\ u_l \end{bmatrix} \\
-8 \int_0^L \mathbf{W}_e \mathbf{u} dx &= -8 \int_0^L \begin{bmatrix} -\frac{9x^3}{2L^3} & + & \frac{18x^2}{2L^2} & - & \frac{11x}{2L} & + & 1 \\ \frac{27x^3}{2L^3} & - & \frac{45x^2}{2L^2} & + & \frac{9x}{L} \\ -\frac{27x^3}{2L^3} & + & \frac{36x^2}{2L^2} & - & \frac{9x}{2L} \\ \frac{9x^3}{2L^3} & - & \frac{9x^2}{2L^2} & - & \frac{x}{L} \end{bmatrix} \mathbf{u} dx = \\
&= -8 \begin{bmatrix} \frac{8L}{105} & \frac{33L}{560} & -\frac{3L}{27L} & \frac{119L}{1680} \\ \frac{33L}{560} & \frac{170}{27L} & -\frac{560}{27L} & -\frac{140}{33L} \\ -\frac{140}{33L} & -\frac{560}{27L} & \frac{170}{27L} & \frac{560}{33L} \\ \frac{119L}{1680} & -\frac{3L}{140} & \frac{33L}{560} & \frac{8L}{105} \end{bmatrix} \begin{bmatrix} u_i \\ u_j \\ u_k \\ u_l \end{bmatrix} \\
20 \int_0^L \mathbf{W}_e dx &= 20 \begin{bmatrix} \frac{L}{8} \\ \frac{3L}{8} \\ \frac{3L}{8} \\ \frac{L}{8} \end{bmatrix}
\end{aligned}$$

Таким образом, для уравнения 4, при использовании кубической функции-формы, получаем:

$$\begin{bmatrix} 51 \frac{37}{10L} - 8 \frac{8L}{105} & -51 \frac{189}{40L} - 8 \frac{33L}{560} & 51 \frac{27}{20L} + 8 \frac{3L}{140} & -51 \frac{13}{40L} - 8 \frac{119L}{1680} \\ -51 \frac{189}{40L} - 8 \frac{33L}{560} & 51 \frac{54}{5L} + 0 - 8 \frac{27L}{170} & -51 \frac{297}{40L} + 8 \frac{27L}{560} & 51 \frac{27}{20L} + 8 \frac{27L}{560} \\ 51 \frac{27}{20L} + 8 \frac{27L}{560} & -51 \frac{297}{40L} + 8 \frac{27L}{560} & 51 \frac{54}{5L} + 0 - 8 \frac{27L}{170} & -51 \frac{189}{40L} - 8 \frac{33L}{560} \\ -51 \frac{13}{40L} - 8 \frac{19L}{1680} & 51 \frac{27}{20L} \frac{3}{10} - 8 \frac{3L}{140} & -51 \frac{189}{40L} - 8 \frac{33L}{560} & 51 \frac{37}{10L} - 8 \frac{8L}{105} \end{bmatrix}.$$

$$\begin{bmatrix} u_i \\ u_j \\ u_k \\ u_l \end{bmatrix} = \begin{bmatrix} 20 \frac{L}{8} - 51 \frac{du}{dx} \big|_i \\ 20 \frac{3L}{8} \\ 20 \frac{3L}{8} \\ 20 \frac{L}{8} + 51 \frac{du}{dx} \big|_l \end{bmatrix} \quad (5)$$

Локальные матрицу жесткости и вектор нагрузок из уравнения 5 с помощью матричных преобразований приведем к следующему виду:

$$\begin{bmatrix} a_{11} & 0 & 0 & a_{14} \\ a_{21} & a_{22} & 0 & a_{24} \\ a_{31} & 0 & a_{33} & a_{34} \\ a_{41} & 0 & 0 & a_{44} \end{bmatrix} \begin{bmatrix} u_i \\ u_j \\ u_k \\ u_l \end{bmatrix} = \begin{bmatrix} b_1 - 51 \frac{du}{dx} \big|_i \\ b_2 \\ b_3 \\ b_4 + 51 \frac{du}{dx} \big|_l \end{bmatrix}$$

Для упрощения расчетов преобразуем систему выше, исключив внутренние узлы. Таким образом СЛАУ (математическая модель кубического КЭ):

$$\begin{bmatrix} a_{11} & a_{14} \\ a_{41} & a_{44} \end{bmatrix} \begin{bmatrix} u_i \\ u_l \end{bmatrix} = \begin{bmatrix} b_1 - 51 \frac{du}{dx} \big|_i \\ b_4 + 51 \frac{du}{dx} \big|_l \end{bmatrix}$$

5 Получение глобальных матрицы жесткости и вектора нагрузок

Проведем процедуры ансамблирования и учет граничных условий для формирования итоговой математической модели.

Ансамблирование

Пусть локальные матрица жесткости и вектор неизвестных заданы следующим образом

$$\begin{bmatrix} a_{11} & a_{12} \\ a_{21} & a_{22} \end{bmatrix} \begin{bmatrix} u_i \\ u_j \end{bmatrix} = \begin{bmatrix} b_1 - 51 \frac{du}{dx} \big|_i \\ b_2 + 51 \frac{du}{dx} \big|_l \end{bmatrix},$$

тогда, при разбиение области на n КЭ, глобальная матрица жесткости будет иметь размерность $(n+1) \cdot (n+1)$:

$$\begin{bmatrix} a_{11}^1 & a_{12}^1 & 0 & \dots & 0 & 0 & 0 & 0 \\ a_{21}^1 & a_{22}^1 + a_{11}^2 & a_{12}^2 & 0 & \dots & 0 & 0 & 0 \\ 0 & a_{21}^2 & a_{22}^2 + a_{11}^3 & a_{12}^3 & 0 & \dots & 0 & 0 \\ 0 & 0 & a_{21}^3 & a_{22}^3 + \dots & & & 0 & 0 \\ \vdots & \vdots & \vdots & \vdots & & & \vdots & \vdots \\ 0 & 0 & 0 & 0 & 0 & 0 & \dots + a_{11}^n & a_{12}^n \\ 0 & 0 & 0 & 0 & 0 & 0 & a_{21}^n & a_{22}^n \end{bmatrix} \begin{bmatrix} u_0 \\ u_1 \\ u_2 \\ u_3 \\ \vdots \\ u_{n-1} \\ u_n \end{bmatrix} = \begin{bmatrix} b_1^1 - 51 \frac{du}{dx}|_0 \\ b_2^1 + b_1^2 \\ b_2^2 + b_1^3 \\ b_2^3 + b_1^4 \\ \vdots \\ b_2^{n-1} + b_1^n \\ b_2^n + 51 \frac{du}{dx}|_L \end{bmatrix}$$

Учет граничных условий

Применим граничные условия первого (см. [3](#)) и второго рода (см. [2](#)) к выведенной выше системе.

$$\begin{bmatrix} 1 & 0 & 0 & \dots & 0 & 0 & 0 & 0 \\ a_{21}^1 & a_{22}^1 + a_{11}^2 & a_{12}^2 & 0 & \dots & 0 & 0 & 0 \\ 0 & a_{21}^2 & a_{22}^2 + a_{11}^3 & a_{12}^3 & 0 & \dots & 0 & 0 \\ 0 & 0 & a_{21}^3 & a_{22}^3 + \dots & & & 0 & 0 \\ \vdots & \vdots & \vdots & \vdots & & & \vdots & \vdots \\ 0 & 0 & 0 & 0 & 0 & 0 & \dots + a_{11}^n & a_{12}^n \\ 0 & 0 & 0 & 0 & 0 & 0 & 0 & 1 \end{bmatrix} \begin{bmatrix} u_0 \\ u_1 \\ u_2 \\ u_3 \\ \vdots \\ u_{n-1} \\ u_n \end{bmatrix} = \begin{bmatrix} 0 \\ b_2^1 + b_1^2 \\ b_2^2 + b_1^3 \\ b_2^3 + b_1^4 \\ \vdots \\ b_2^{n-1} + b_1^n \\ b_2^n + 51 \cdot 1 \end{bmatrix}$$

6 Анализ результатов

Проведем сравнение результатов согласно заданию.

Линейная функция-формы

На рисунках [2](#), [3](#) представлены графики полученные с помощью МКЭ (линейная функция-формы).

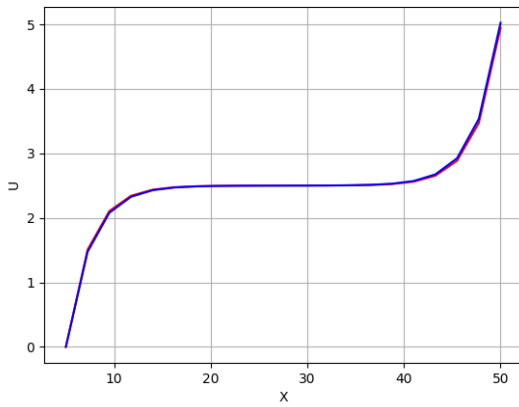


Рис. 2. Результат работы программы для 20
КЭ

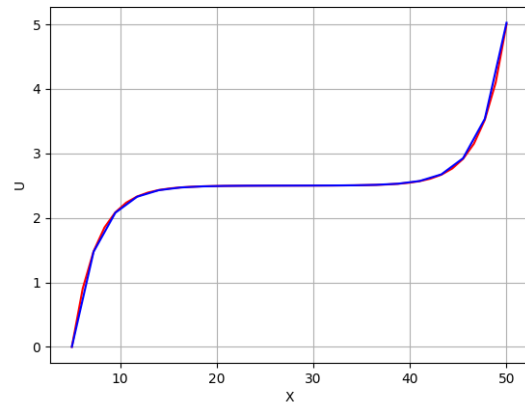


Рис. 3. Результат работы программы для 40
КЭ

Х	Аналитическое решение	МКЭ- решение	Абсолютная погрешность
5.000000e+00	0.000000e+00	0.000000e+00	0.000000e+00
7.250000e+00	1.474523e+00	1.507202e+00	3.267876e-02
9.500000e+00	2.079359e+00	2.105741e+00	2.638181e-02
1.175000e+01	2.327457e+00	2.343432e+00	1.597490e-02
1.400000e+01	2.429226e+00	2.437825e+00	8.598776e-03
1.625000e+01	2.470972e+00	2.475311e+00	4.338560e-03
1.850000e+01	2.488101e+00	2.490201e+00	2.099340e-03
2.075000e+01	2.495139e+00	2.496121e+00	9.822609e-04
2.300000e+01	2.498054e+00	2.498491e+00	4.376530e-04
2.525000e+01	2.499318e+00	2.499481e+00	1.628628e-04
2.750000e+01	2.500003e+00	2.499995e+00	8.694016e-06
2.975000e+01	2.500692e+00	2.500504e+00	1.879828e-04
3.200000e+01	2.501967e+00	2.501474e+00	4.928542e-04
3.425000e+01	2.504910e+00	2.503793e+00	1.116689e-03
3.650000e+01	2.512017e+00	2.509585e+00	2.432750e-03
3.875000e+01	2.529316e+00	2.524148e+00	5.168143e-03
4.100000e+01	2.571478e+00	2.560814e+00	1.066440e-02
4.325000e+01	2.674259e+00	2.653140e+00	2.111984e-02
4.550000e+01	2.924827e+00	2.885627e+00	3.919965e-02
4.775000e+01	3.535681e+00	3.471061e+00	6.461993e-02
5.000000e+01	5.024876e+00	4.945263e+00	7.961335e-02

Таблица 1. 20 линейных КЭ

X	Аналитическое решение	МКЭ- решение	Абсолютная погрешность
5.000000e+00	0.000000e+00	0.000000e+00	0.000000e+00
6.125000e+00	8.988465e-01	9.048714e-01	6.024942e-03
7.250000e+00	1.474523e+00	1.482226e+00	7.702960e-03
8.375000e+00	1.843222e+00	1.850608e+00	7.386249e-03
9.500000e+00	2.079359e+00	2.085655e+00	6.295608e-03
1.062500e+01	2.230596e+00	2.235627e+00	5.030626e-03
1.175000e+01	2.327457e+00	2.331316e+00	3.859008e-03
1.287500e+01	2.389494e+00	2.392372e+00	2.877996e-03
1.400000e+01	2.429226e+00	2.431328e+00	2.102516e-03
1.512500e+01	2.454673e+00	2.456185e+00	1.511909e-03
1.625000e+01	2.470972e+00	2.472046e+00	1.073656e-03
1.737500e+01	2.481413e+00	2.482167e+00	7.546166e-04
1.850000e+01	2.488101e+00	2.488627e+00	5.256946e-04
1.962500e+01	2.492388e+00	2.492751e+00	3.632130e-04
2.075000e+01	2.495139e+00	2.495388e+00	2.487614e-04
2.187500e+01	2.496908e+00	2.497077e+00	1.684327e-04
2.300000e+01	2.498054e+00	2.498166e+00	1.119046e-04
2.412500e+01	2.498806e+00	2.498878e+00	7.156510e-05
2.525000e+01	2.499318e+00	2.499360e+00	4.175615e-05
2.637500e+01	2.499692e+00	2.499710e+00	1.814146e-05
2.750000e+01	2.500003e+00	2.500001e+00	2.823632e-06
2.862500e+01	2.500316e+00	2.500291e+00	2.435678e-05
2.975000e+01	2.500692e+00	2.500642e+00	4.978991e-05
3.087500e+01	2.501207e+00	2.501124e+00	8.303351e-05
3.200000e+01	2.501967e+00	2.501838e+00	1.291148e-04
3.312500e+01	2.503123e+00	2.502928e+00	1.948468e-04
3.425000e+01	2.504910e+00	2.504620e+00	2.896930e-04
3.537500e+01	2.507688e+00	2.507261e+00	4.268961e-04
3.650000e+01	2.512017e+00	2.511392e+00	6.249395e-04
3.762500e+01	2.518772e+00	2.517863e+00	9.093871e-04
3.875000e+01	2.529316e+00	2.528001e+00	1.315084e-03
3.987500e+01	2.545778e+00	2.543889e+00	1.888559e-03
4.100000e+01	2.571478e+00	2.568788e+00	2.690149e-03
4.212500e+01	2.611606e+00	2.607811e+00	3.794811e-03
4.325000e+01	2.674259e+00	2.668970e+00	5.289414e-03
4.437500e+01	2.772085e+00	2.764822e+00	7.262330e-03
4.550000e+01	2.924827e+00	2.915049e+00	9.777481e-03
4.662500e+01	3.163314e+00	3.150495e+00	1.281860e-02
4.775000e+01	3.535681e+00	3.519503e+00	1.617839e-02
4.887500e+01	4.117086e+00	4.097838e+00	1.924807e-02
5.000000e+01	5.024876e+00	5.004246e+00	2.063028e-02

Таблица 2. 40 линейных КЭ

Максимальная абсолютная погрешность $7.961335\text{e-}02$ и $2.063028\text{e-}02$ соответственно.

Кубическая функция-формы

На рисунках 4, 5 представлены графики полученные с помощью МКЭ (кубическая функция-формы).

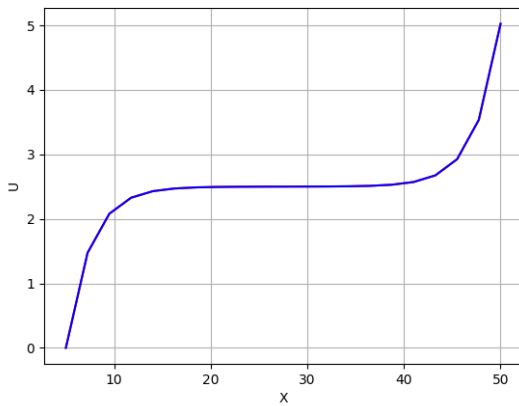


Рис. 4. Результат работы программы для 20
КЭ

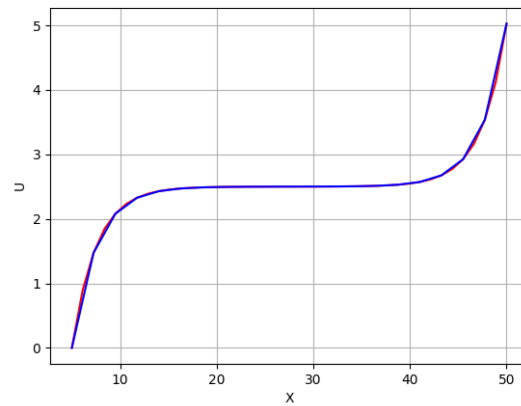


Рис. 5. Результат работы программы для 40
КЭ

X	Аналитическое решение	МКЭ- решение	Абсолютная погрешность
5.000000e+00	0.000000e+00	0.000000e+00	0.000000e+00
7.250000e+00	1.474523e+00	1.474525e+00	2.333584e-06
9.500000e+00	2.079359e+00	2.079361e+00	1.914420e-06
1.175000e+01	2.327457e+00	2.327459e+00	1.177895e-06
1.400000e+01	2.429226e+00	2.429227e+00	6.441669e-07
1.625000e+01	2.470972e+00	2.470973e+00	3.301771e-07
1.850000e+01	2.488101e+00	2.488101e+00	1.622645e-07
2.075000e+01	2.495139e+00	2.495139e+00	7.706170e-08
2.300000e+01	2.498054e+00	2.498054e+00	3.478267e-08
2.525000e+01	2.499318e+00	2.499318e+00	1.302114e-08
2.750000e+01	2.500003e+00	2.500003e+00	8.453287e-10
2.975000e+01	2.500692e+00	2.500692e+00	1.541325e-08
3.200000e+01	2.501967e+00	2.501967e+00	3.986086e-08
3.425000e+01	2.504910e+00	2.504910e+00	8.903815e-08
3.650000e+01	2.512017e+00	2.512017e+00	1.910709e-07
3.875000e+01	2.529316e+00	2.529316e+00	3.996966e-07
4.100000e+01	2.571478e+00	2.571477e+00	8.120248e-07
4.325000e+01	2.674259e+00	2.674258e+00	1.583199e-06
4.550000e+01	2.924827e+00	2.924824e+00	2.892981e-06
4.775000e+01	3.535681e+00	3.535676e+00	4.695994e-06
5.000000e+01	5.024876e+00	5.024870e+00	5.702698e-06

Таблица 3. 20 кубических КЭ

X	Аналитическое решение	МКЭ- решение	Абсолютная погрешность
5.000000e+00	0.000000e+00	0.000000e+00	0.000000e+00
6.125000e+00	8.988465e-01	8.988465e-01	2.788281e-08
7.250000e+00	1.474523e+00	1.474523e+00	3.571569e-08
8.375000e+00	1.843222e+00	1.843222e+00	3.431173e-08
9.500000e+00	2.079359e+00	2.079359e+00	2.930037e-08
1.062500e+01	2.230596e+00	2.230596e+00	2.345706e-08
1.175000e+01	2.327457e+00	2.327457e+00	1.802779e-08
1.287500e+01	2.389494e+00	2.389494e+00	1.347013e-08
1.400000e+01	2.429226e+00	2.429226e+00	9.859032e-09
1.512500e+01	2.454673e+00	2.454673e+00	7.102849e-09
1.625000e+01	2.470972e+00	2.470972e+00	5.053373e-09
1.737500e+01	2.481413e+00	2.481413e+00	3.558344e-09
1.850000e+01	2.488101e+00	2.488101e+00	2.483428e-09
1.962500e+01	2.492388e+00	2.492388e+00	1.718945e-09
2.075000e+01	2.495139e+00	2.495139e+00	1.179342e-09
2.187500e+01	2.496908e+00	2.496908e+00	7.998153e-10
2.300000e+01	2.498054e+00	2.498054e+00	5.321419e-10
2.412500e+01	2.498806e+00	2.498806e+00	3.406648e-10
2.525000e+01	2.499318e+00	2.499318e+00	1.988010e-10
2.637500e+01	2.499692e+00	2.499692e+00	8.613465e-11
2.750000e+01	2.500003e+00	2.500003e+00	1.408917e-11
2.862500e+01	2.500316e+00	2.500316e+00	1.171028e-10
2.975000e+01	2.500692e+00	2.500692e+00	2.386757e-10
3.087500e+01	2.501207e+00	2.501207e+00	3.973311e-10
3.200000e+01	2.501967e+00	2.501967e+00	6.168026e-10
3.312500e+01	2.503123e+00	2.503123e+00	9.292247e-10
3.425000e+01	2.504910e+00	2.504910e+00	1.379108e-09
3.537500e+01	2.507688e+00	2.507688e+00	2.028588e-09
3.650000e+01	2.512017e+00	2.512017e+00	2.964224e-09
3.762500e+01	2.518772e+00	2.518772e+00	4.305408e-09
3.875000e+01	2.529316e+00	2.529316e+00	6.214528e-09
3.987500e+01	2.545778e+00	2.545778e+00	8.907803e-09
4.100000e+01	2.571478e+00	2.571478e+00	1.266485e-08
4.212500e+01	2.611606e+00	2.611606e+00	1.783181e-08
4.325000e+01	2.674259e+00	2.674259e+00	2.480806e-08
4.437500e+01	2.772085e+00	2.772085e+00	3.399685e-08
4.550000e+01	2.924827e+00	2.924827e+00	4.568398e-08
4.662500e+01	3.163314e+00	3.163314e+00	5.977885e-08
4.775000e+01	3.535681e+00	3.535681e+00	7.530167e-08
4.887500e+01	4.117086e+00	4.117086e+00	8.941383e-08
5.000000e+01	5.024876e+00	5.024876e+00	9.563975e-08

Таблица 4. 40 кубических КЭ

Максимальная абсолютная погрешность $5.702698e-06$ и $9.563975e-08$ соответственно.

Нахождение количества линейных КЭ, обеспечивающих ту же точность, что и 20 кубических

Так как очевидно, что при увлечении числа КЭ точность растет, найдем искомое следуя алгоритму, представленному на рисунке 6.

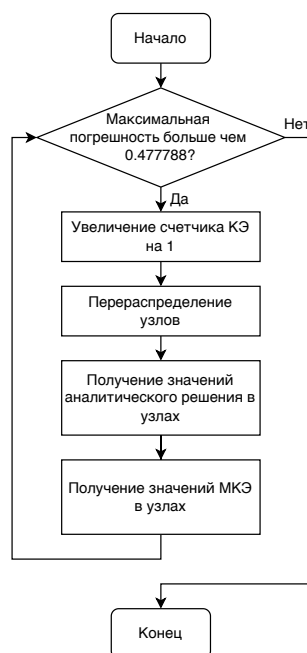


Рис. 6. Алгоритм нахождения количества КЭ, заданную точность

Реализовав данный алгоритм с начальным количеством КЭ=20 и увеличивая счетчик всегда на 1 получаем необходимое количество КЭ, равное 2422 КЭ.

7 Код

Листинг 1. Реализация МКЭ

```

1
2 #include <iostream>
3 #include <vector>
4 #include <cmath>
5
6 double EPS = 1e-16;
7 double X_BEGIN = 5.0;
8 double X_END = 50.0;
9 size_t ELEM_NUM = 20;
  
```

```

10 double L = (X_END - X_BEGIN) / ELEMS_NUM;
11
12 double a = 51.0, B = 0.0, C = -8.0, D = 20.0, usl_left = 0.0, usl_right = 1.0; //
    au''+Bu'+Cu+D=0
13
14 std::vector<double> solve_with_gauss(std::vector<std::vector<double>>& A,
    std::vector<double>& b){
15     size_t row_size = A.size();
16     size_t col_size = A.back().size();
17
18     // Прямой ход Гаусса
19     double pivot = 0.;
20     for (size_t i = 0; i < row_size; i++) {
21         for (size_t j = i + 1; j < col_size; j++) {
22             if (std::abs(A.at(j).at(i)) < EPS) {
23                 continue;
24             }
25             pivot = A.at(j).at(i) / A.at(i).at(i);
26             b.at(j) -= pivot * b.at(i);
27             for (size_t k = 0; k < row_size; k++) {
28                 A.at(j).at(k) -= pivot * A.at(i).at(k) ;
29             }
30         }
31     }
32
33     // Обратный ход Гаусса
34     std::vector<double> x(row_size);
35     for (int i = row_size - 1; i >= 0; i--) {
36         x.at(i) = b.at(i);
37         for (size_t j = i + 1; j < row_size; j++) {
38             x.at(i) -= x.at(j) * A.at(i).at(j);
39         }
40         x.at(i) /= A.at(i).at(i);
41     }
42
43     return x;
44 }
45
46 double analytical_solution(double x) {
47     return (exp(-2. * sqrt(2./51.) * (x + 5.)) * (exp(2. * sqrt(2./51.) * x) - exp(10. *
        sqrt(2./51.))) * (-10. * exp(2 * sqrt(2./51.) * x) + sqrt(102) * exp(2. *
        sqrt(2./51.) * (x + 45.)) + sqrt(102) * exp(100. * sqrt(2./51.)) + 10. * exp(190. *
        sqrt(2./51.))))/(4. * (1. + exp(60. * sqrt(6./17.))));
48 }
49
50 std::vector<double> build_analytical_solution(std::vector<double>& x_vec) {

```

```

51     size_t x_vec_size = x_vec.size();
52     std::vector<double> y_vec = std::vector<double>(x_vec_size);
53     for (size_t i = 0; i < x_vec_size; i++) {
54         y_vec.at(i) = analytical_solution(x_vec.at(i));
55     }
56     return y_vec;
57 }
58
59 std::vector<double> build_linear_solution(size_t elems_num) {
60     double L = (X_END - X_BEGIN) / elems_num;
61     size_t size = elems_num + 1;
62     std::vector< std::vector<double> > A(size, std::vector<double>(size));
63     std::vector<double> b(size);
64
65     // Локальная матрица жесткости для линейного КЭ
66     std::vector< std::vector<double> > local_matrix = {
67         { (a / L) + (B / 2.) - C * L / 3., -(a / L) - (B / 2.) - C * L / 6.},
68         { -(a / L) + (B / 2.) - C * L / 6., (a / L) - (B / 2.) - C * L / 3.},
69     };
70
71     // Ансамблирование и получение глобальной матрицы жесткости для линейного КЭ
72     for (size_t i = 0; i < elems_num; i++) {
73         for (size_t j = 0; j < 2; j++) {
74             for (size_t k = 0; k < 2; k++) {
75                 A.at(i + j).at(i + k) += local_matrix.at(j).at(k);
76             }
77         }
78     }
79
80     for (size_t i = 0; i < size ; i++) {
81         b.at(i) = D * L;
82     }
83
84     // Учет ГУ
85     if ( 0 == 1 ) {
86         b.at(0) = D * L / 2. - a*usl_left;
87     } else {
88         b.at(0) = usl_left;
89         A.at(0).at(0) = 1;
90         A.at(0).at(1) = 0;
91     }
92
93     if ( 1 == 1 ) {
94         b.at(size - 1) = D * L / 2. + a*usl_right;
95     } else {
96         b.at(size - 1) = usl_right;

```



```

97     A.at(size - 1).at(size - 1) = 1;
98     A.at(size - 1).at(size - 2) = 0;
99 }
100
101 // Решение полученной СЛАУ методом Гаусса
102 std::vector<double> res = solve_with_gauss(A, b);
103 return res;
104 }
105
106 std::vector<double> build_cube_solution(size_t elems_num) {
107     double L = (X_END - X_BEGIN) / elems_num;
108     size_t size = elems_num + 1;
109     std::vector< std::vector<double> > A(size, std::vector<double>(size));
110     std::vector<double> b(size);
111
112     // Локальная матрица жесткости для кубического КЭ
113     std::vector< std::vector<double> > local_matrix = {
114         { a * 37./(10.*L) + B / 2. - C * 8. / 105. * L, -a * 189./(40.*L) - B * 57./80. -
          C * 33. / 560. * L, a * 27./(20.*L) + B * 3./10. + C * 3. / 140. * L, -a *
          13./(40.*L) - B * 7./80. - C * 19. / 1680. * L},
115         { -a * 189./(40.*L) + B * 57./80. - C * 33. / 560. * L, a * 54./(5.*L) + 0. - C *
          27. / 70. * L, -a * 297./(40.*L) - B * 81./80. + C * 27. / 560. * L, a *
          27./(20.*L) + B * 3./10. + C * 3. / 140. * L},
116         { a * 27./(20.*L) - B * 3./10. + C * 3. / 140. * L, -a * 297./(40.*L) + B *
          81./80. + C * 27. / 560. * L, a * 54./(5.*L) - 0. - C * 27. / 70. * L, -a *
          189./(40.*L) - B * 57./80. - C * 33. / 560. * L},
117         { -a * 13./(40.*L) + B * 7./80. - C * 19. / 1680. * L, a * 27./(20.*L) - B * 3./10.
          + C * 3. / 140. * L, -a * 189./(40.*L) + B * 57./80. - C * 33. / 560. * L, a *
          37./(10.*L) - B * 1./2. - C * 8. / 105. * L}
118     };
119
120     // Локальный вектор нагрузок (дополнительные слагаемые для первого и последнего
        элементов учитываются далее)
121     std::vector<double> local_b = { D * L / 8.0,
122                                     D * 3.0 * L / 8.0,
123                                     D * 3.0 * L / 8.0,
124                                     D * L / 8.0 };
125
126
127     // Производим матричные преобразования для обнуления элементов локальной
        матрицы жесткости, относящихся к внутренним узлам
128     for (size_t i = 1; i < 3; i++) {
129         for (size_t j = 0; j < 4; j++) {
130             if (std::fabs(local_matrix.at(j).at(i)) > EPS && i != j) {
131                 double val = local_matrix.at(j).at(i) / local_matrix.at(i).at(i);
132                 local_b.at(j) -= val * local_b.at(i);

```

```

133         for (size_t k = 0; k < 4; k++) {
134             local_matrix.at(j).at(k) -= val * local_matrix.at(i).at(k);
135         }
136     }
137     continue;
138 }
139 }
140
141
142 // Исключаем внутренние узлы из рассмотрения
143 std::vector< std::vector<double> > local_matrix_mod = { { local_matrix.at(0).at(0),
144     local_matrix.at(0).at(3) },
145                                                         { local_matrix.at(3).at(0),
146                                                         local_matrix.at(3).at(3)
147                                                         } };
148
149 std::vector<double> local_b_mod = { local_b.at(0),
150                                     local_b.at(3)
151                                     };
152
153 // Ансамблирование и получение глобальной матрицы жесткости для кубического КЭ
154 for (size_t i = 0; i < elems_num; i++) {
155     for (size_t j = 0; j < 2; j++) {
156         for (size_t k = 0; k < 2; k++) {
157             A.at(i + j).at(i + k) += local_matrix_mod.at(j).at(k);
158         }
159     }
160 }
161
162 for (size_t i = 0; i < elems_num; i++) {
163     b.at(i) += local_b_mod.at(0);
164     b.at(i+1) += local_b_mod.at(1);
165 }
166
167 // Учет ГУ
168 if (0 == 1 ) {
169     b.at(0) = local_b_mod.at(0) - a * usl_left;
170 } else {
171     b.at(0) = usl_left;
172     A.at(0).at(0) = 1.;
173     A.at(0).at(1) = 0.;
174 }
175
176 if (1 == 1 ) {
177     b.at(size - 1) = local_b_mod.at(1) + a * usl_right;
178 } else {
179     b.at(size - 1) = usl_right;

```

```

176     A.at(size - 1).at(size - 1) = 1.;
177     A.at(size - 1).at(size - 2) = 0.;
178 }
179
180 // Решение полученной СЛАУ методом Гаусса
181 std::vector<double> res = solve_with_gauss(A, b);
182 return res;
183 }
184
185 double calc_abs_error(const std::vector<double>& y_real, const std::vector<double>&
    y) {
186     double max_err = 0.0;
187     for (size_t i = 0; i < y_real.size(); i++) {
188         double err = std::fabs(y_real.at(i) - y.at(i));
189         if (err > max_err) {
190             max_err = err;
191         }
192     }
193     return max_err;
194 }
195
196 int main() {
197
198     std::vector<double> x(ELEMS_NUM + 1);
199     for (size_t i = 0; i < x.size(); i++) {
200         x.at(i) = X_BEGIN + i * L;
201     }
202     size_t x_size = x.size();
203
204     std::vector<double> y;
205     if (true) {
206         y = build_linear_solution(ELEMS_NUM);
207     } else {
208         y = build_cube_solution(ELEMS_NUM);
209     }
210     std::vector<double> y_real = build_analytical_solution(x);
211
212
213     FILE* gp;
214     FILE* ab;
215     FILE* pgr;
216     FILE* tab;
217     if (true) {
218         if (ELEMS_NUM == 20) {
219             gp = fopen("res/labs/text/graph/lin_20.txt", "w");
220             ab = fopen("res/labs/text/graph/abs.txt", "w");

```

```

221         for (size_t i = 0; i < x_size; i++) {
222             fprintf(ab, "%lf %lf\n", x.at(i), y_real.at(i));
223         }
224         pgr = fopen("res/labs/text/pgr/lin_20.txt", "w");
225         tab = fopen("res/labs/text/tab/lin_20.txt", "w");
226     }
227     if(ELEMS_NUM == 40) {
228         gp = fopen("res/labs/text/graph/lin_40.txt", "w");
229         pgr = fopen("res/labs/text/pgr/lin_40.txt", "w");
230         tab = fopen("res/labs/text/tab/lin_40.txt", "w");
231     }
232 } else {
233     if(ELEMS_NUM == 20) {
234         gp = fopen("res/labs/text/graph/cub_20.txt", "w");
235         pgr = fopen("res/labs/text/pgr/cub_20.txt", "w");
236         tab = fopen("res/labs/text/tab/cub_20.txt", "w");
237     }
238     if(ELEMS_NUM == 40) {
239         gp = fopen("res/labs/text/graph/cub_40.txt", "w");
240         pgr = fopen("res/labs/text/pgr/cub_40.txt", "w");
241         tab = fopen("res/labs/text/tab/cub_40.txt", "w");
242     }
243 }
244
245 for (size_t i = 0; i < x.size()-1; i++) {
246     fprintf(tab, "%le & %le & %le & %le \\\n", x.at(i), y_real.at(i), y.at(i),
247         std::fabs(y_real.at(i) - y.at(i)));
248 }
249 fprintf(tab, "%le & %le & %le & %le", x.at(x.size()-1), y_real.at(x.size()-1),
250     y.at(x.size()-1), std::fabs(y_real.at(x.size()-1) - y.at(x.size()-1)));
251
252 for (size_t i = 0; i < x_size; i++) {
253     fprintf(gp, "%lf %lf\n", x.at(i), y.at(i));
254 }
255
256 fprintf(pgr, "%e", calc_abs_error(y_real, y));
257 fclose(gp);
258 fclose(ab);
259 fclose(pgr);
260 fclose(tab);
261
262 return 0;
263 }

```

8 Вывод

В ходе выполнения лабораторной работы был реализован МКЭ для различных функций форм, а также найдено количество линейных КЭ обеспечивающих точность 20ти кубических КЭ.

Постановка: © доцент кафедры РК-6, кандидат технических наук, доцент, Трудоношин В.А.

Решение и вёрстка: © студент группы РК6-736, Кулагин А.О.

2022, осенний семестр